

## Annexe VIII : Calcul de l'Evapotranspiration par la méthode de « Thornthwaite ».

Tableau Coefficient de correction  $F(m,\phi)$  de la formule de Thornthwaite.

Source : Monographie N°65 de la Météorologie Nationale, 1968.

Lat. N.	J	F	M	A	M	J	J	A	S	O	N	D
0	1.04	.94	1.04	1.01	1.04	1.01	1.04	1.04	1.01	1.04	1.01	1.04
5	1.02	.93	1.03	1.02	1.05	1.03	1.06	1.05	1.01	1.03	.99	1.02
10	1.00	.91	1.03	1.03	1.08	1.06	1.08	1.07	1.02	1.02	.98	.99
15	.97	.91	1.03	1.04	1.11	1.08	1.12	1.08	1.02	1.01	.95	.97
20	.95	.90	1.03	1.05	1.13	1.11	1.14	1.11	1.02	1.00	.93	.94
25	.93	.89	1.03	1.06	1.15	1.14	1.17	1.12	1.02	.99	.91	.91
30	.92	.88	1.03	1.06	1.15	1.16	1.17	1.13	1.02	.99	.91	.91
35	.92	.88	1.03	1.07	1.16	1.15	1.18	1.13	1.02	.99	.90	.90
38	.91	.88	1.03	1.07	1.16	1.16	1.18	1.13	1.02	.98	.90	.90
39	.91	.87	1.03	1.07	1.17	1.16	1.19	1.13	1.03	.98	.90	.89
40	.90	.87	1.03	1.08	1.18	1.17	1.20	1.14	1.03	.98	.89	.88
41	.90	.87	1.03	1.08	1.18	1.18	1.20	1.14	1.03	.98	.89	.88
42	.89	.86	1.03	1.08	1.19	1.19	1.21	1.15	1.03	.98	.88	.87
43	.88	.86	1.03	1.09	1.20	1.20	1.22	1.16	1.03	.97	.88	.86
44	.88	.85	1.03	1.09	1.21	1.21	1.23	1.16	1.03	.97	.86	.85
45	.87	.85	1.03	1.09	1.21	1.21	1.23	1.16	1.03	.97	.86	.84
46	.87	.85	1.03	1.10	1.21	1.22	1.24	1.16	1.03	.97	.86	.84
47	.86	.84	1.03	1.10	1.22	1.23	1.25	1.17	1.03	.97	.85	.83
48	.85	.84	1.03	1.10	1.23	1.24	1.25	1.17	1.04	.96	.84	.83
49	.85	.84	1.03	1.11	1.23	1.24	1.26	1.18	1.04	.96	.83	.81
50	.84	.83	1.03	1.11	1.25	1.26	1.27	1.19	1.04	.96	.82	.80
51	.83	.83	1.03	1.11	1.26	1.27	1.28	1.19	1.04	.95	.82	.79
52	.82	.83	1.03	1.12	1.26	1.28	1.29	1.20	1.04	.95	.81	.77
53	.81	.82	1.02	1.12	1.26	1.28	1.29	1.20	1.04	.95	.80	.76
54	.81	.82	1.02	1.13	1.27	1.29	1.30	1.20	1.04	.95	.79	.75
55	.80	.81	1.02	1.13	1.28	1.29	1.31	1.21	1.04	.94	.79	.74
56	.79	.81	1.02	1.13	1.29	1.31	1.32	1.22	1.04	.94	.79	.74
57	.77	.80	1.02	1.14	1.30	1.32	1.33	1.22	1.04	.93	.78	.73
58	.76	.80	1.02	1.14	1.31	1.33	1.34	1.23	1.05	.93	.77	.72
59	.75	.79	1.02	1.14	1.32	1.34	1.35	1.24	1.05	.93	.76	.71
60	.74	.78	1.02	1.15	1.33	1.36	1.37	1.25	1.06	.92	.76	.70
Lat. S.												
5	1.06	.95	1.04	1.00	1.02	.99	1.02	1.03	1.00	1.05	1.03	1.06
10	1.08	.97	1.05	.99	1.01	.96	1.00	1.01	1.00	1.06	1.05	1.10
15	1.12	.98	1.05	.98	.98	.94	.97	1.00	1.00	1.07	1.07	1.12
20	1.14	1.00	1.05	.97	.96	.91	.95	1.99	1.00	1.08	1.09	1.15
25	1.17	1.01	1.05	.96	.94	.88	.93	.98	1.00	1.10	1.11	1.18
30	1.20	1.03	1.06	.95	.92	.85	.90	.96	1.00	1.12	1.14	1.21
35	1.23	1.04	1.06	.94	.89	.82	.87	.94	1.00	1.13	1.17	1.25
40	1.27	1.06	1.07	.93	.86	.78	.84	.92	1.00	1.15	1.20	1.29
42	1.28	1.07	1.07	.92	.85	.76	.82	.92	1.00	1.16	1.22	1.31
44	1.30	1.08	1.07	.92	.83	.74	.81	.91	.99	1.17	1.23	1.33
46	1.32	1.10	1.07	.91	.82	.72	.79	.90	.99	1.17	1.25	1.35
48	1.34	1.11	1.08	.90	.80	.70	.76	.89	.99	1.18	1.27	1.37
50	1.37	1.12	1.08	.89	.77	.67	.74	.88	.99	1.19	1.29	1.41

## Annexe IX : Classification du climat de la région Analamanga en fonction de l'indice d'aridité de E. de Martonne

Afin de caractériser le climat général d'une région du monde, on utilise les valeurs suivantes, dans le Tableau ci-dessous (afin d'établir ces seuils, E. de Martonne a effectué un travail d'étude de corrélation entre la valeur de cet indice et le type de végétation observé)

**Classement des indices d'aridité de E. de Martonne**  
*Source :* Auteur, ORSTOM

Valeur de I	Type de climat	Type de végétation potentielle
0 à 5	Hyper aride	Désert absolu
5 à 10	Aride	Désert
10 à 20	Semi-aride	Steppe
20 à 30	Semi-humide	Prairie naturelle, forêt
30 à 40	Humide	Forêt
40 à 55	Humide	Forêt

Cet indice (annuel ou mensuel) se calcule de la façon suivante :

❖ Indice annuel :

$$I = \frac{P}{(T + 10)} \quad (67)$$

❖ Indice mensuel :

$$I = \frac{12 \times P}{(T + 10)} \quad (68)$$

Avec P = précipitations totales annuelles (mensuelles si indice calculer mensuellement), T = température moyenne annuelle (ou mensuelle).

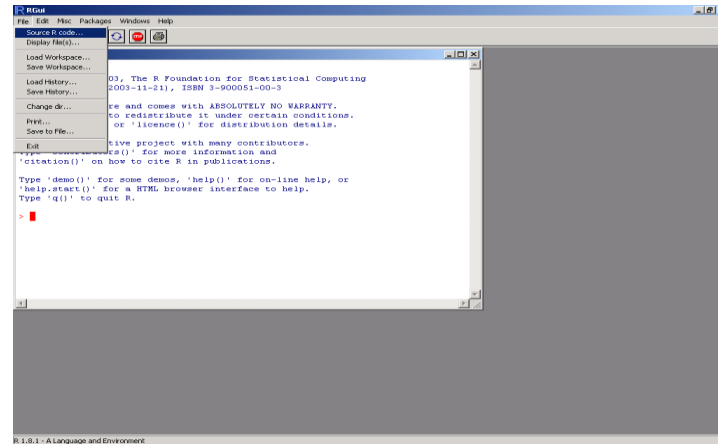
Tous les calculs ont été faits sur Excel, nous utiliserons les données de précipitations moyenne entre 1971-2000, de même pour les températures, afin de calculer les indices respectifs des deux stations, Antananarivo et Ivato

## Annexe X : Procédure du contrôle de qualité sous RCLimdex.

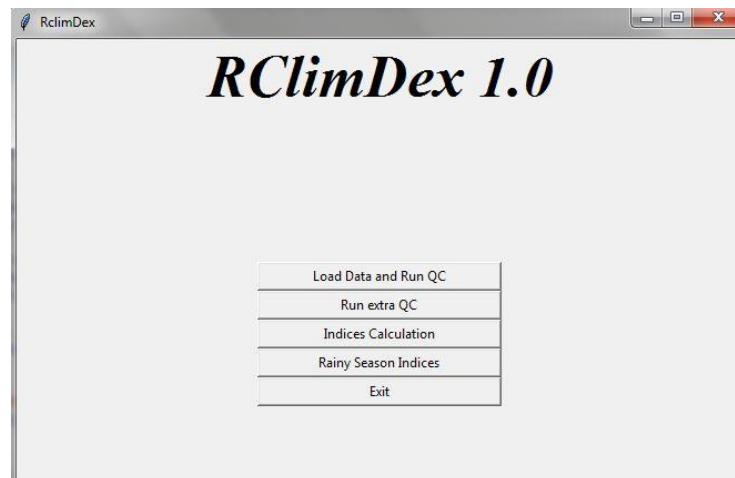
Premièrement, on dispose les données (Température maximale et minimale requises) dans un fichier texte en l'enregistrant sous « Antananarivo DMH.txt » dans le dossier contenant le package RCLimdex, comme l'image ci-dessous.

Year	Month	Day	RR	Tmax	Tmin
1952	1	1	0.40	22.7	13.2
1952	1	2	0.60	23.9	14.3
1952	1	3	1.00	23.1	15.5
1952	1	4	0.30	21.4	16.4
1952	1	5	12.10	24.0	14.3
1952	1	6	14.10	23.7	16.8
1952	1	7	0.00	22.8	15.7
1952	1	8	0.00	25.3	15.5

Ensuite, on lance le Package RCLimdex avec R, dans l'onglet *file > Source R code...*



Enfin, on arrive à l'interface graphique GUI de RCLimdex. Pour démarrer le contrôle de qualité, on clique sur « Load Data and Run QC » ou « Run extra QC ».



## **Annexe XI : Critères sur les données manquantes des séries de précipitations**

[27] [28] Il est conseillé de calculer les normales ou les moyennes de courte période uniquement quand on dispose des valeurs d'au moins 80 % des années de la série de relevés, avec au plus trois années consécutives manquantes. Quand les données manquantes touchent une période relativement longue, mais qu'après cette période les relevés sont jugés suffisamment complets, une autre solution consiste à calculer une moyenne pour cette période à l'aide uniquement des données provenant des années qui suivent l'interruption dans les relevés.

Les normales ou les moyennes annuelles devraient correspondre à la moyenne ou à la somme (suivant le cas) des douze valeurs normales ou moyennes mensuelles, sans tenir compte de la durée variable des mois (voir le Règlement technique, Volume I, partie II, paragraphe 1.4.2.4). Le calcul des normales annuelles n'est possible que si aucune normale mensuelle ne manque.

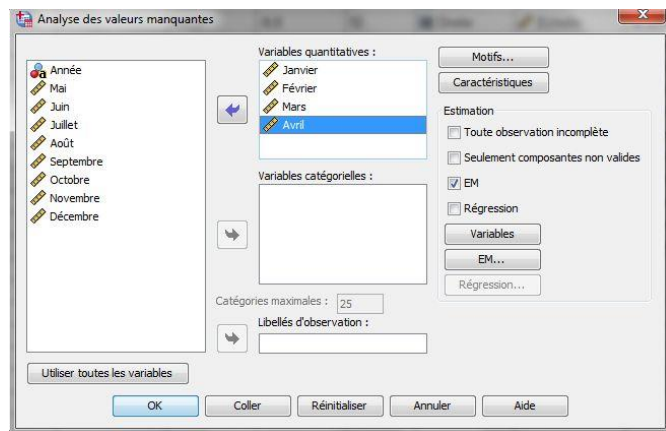
Il est recommandé de ne pas calculer de valeur mensuelle quand plus de dix valeurs quotidiennes sont manquantes ou s'il y a une période de cinq jours successifs à laquelle aucune valeur n'est attribuée. Pour des éléments dont la valeur mensuelle est une somme de valeurs quotidiennes et non une moyenne (notamment pour la hauteur de pluie dans notre cas), on ne devrait calculer une valeur mensuelle qu'à condition de disposer de toutes les observations quotidiennes ou alors qu'à condition que tout jour manquant soit inclus dans une observation cumulative, couvrant la période correspondant aux données manquantes, pour le jour où les observations reprennent. Dans la publication intitulée Calculation of Monthly and Annual 30-Year Standard Normals (WMO/TD-No. 341), il est recommandé d'appliquer des critères plus stricts au calcul des moyennes, les limites étant de plus de cinq valeurs quotidiennes manquantes ou trois jours successifs manquants.

## Annexe XII : Procédure de restitution des valeurs manquantes sous SPSS avec l'algorithme EM.

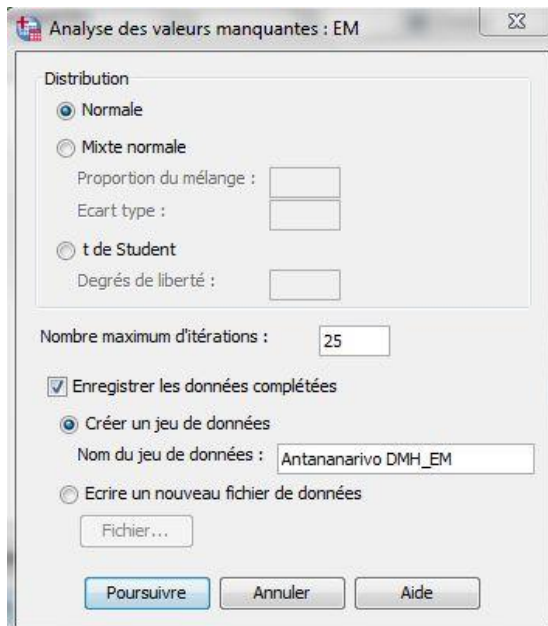
La fenêtre de l'éditeur de données sous SPSS :

	Année	Janvier	Février	Mars	Avril	Mai	
1	1952	419,5	190,2	188,7	85,7	46,7	
2	1953	124,8	108,9	538,3	25,4	9,6	
3	1954	315,7	157,8	170,1	15,2	20,9	
4	1955	358,4	140,6	221,0	23,0	6,6	
5	1956	301,8	205,8	110,3	70,9	8,0	
6	1957	72,7	222,1	396,9	42,7	6,0	
7	1958	427,2	123,9	131,1	4,7	6,3	
8	1959	197,3	346,1	603,5	4,2	1,1	

On clique sur le menu **Analyse> Analyse des valeurs manquantes**, on entre les mois dans la case variables quantitative et on coche sur **EM**.



On clique sur l'onglet **EM**, l'itération est fixée à 25. On crée un **nouveau jeu de données**, puis on termine par **OK**.

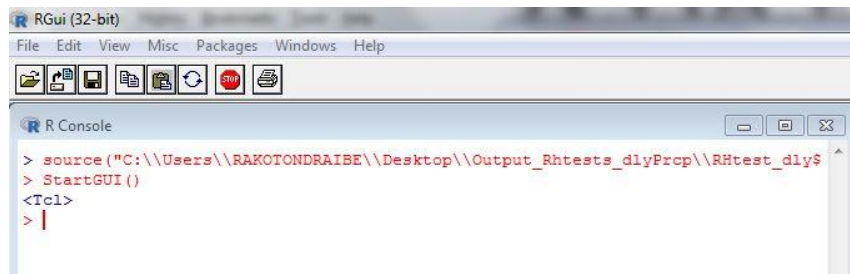


## Annexe XIII : Procédure d'homogénéisation des séries de précipitations quotidiennes sous RHtests\_dlyPrcp.

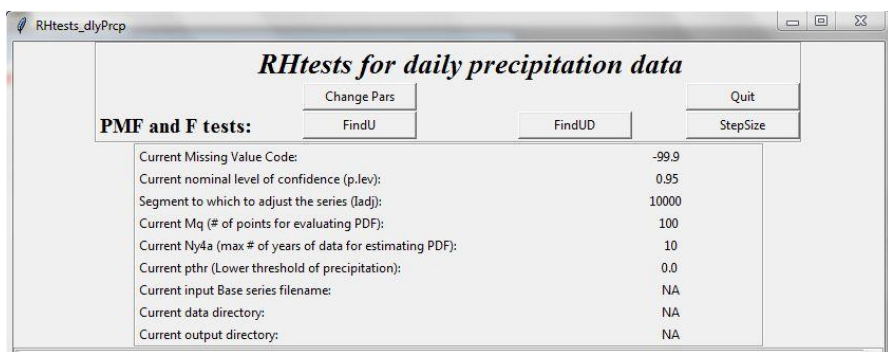
Premièrement, on dispose les données dans un fichier «. Dat » en l'enregistrant sous « Antananarivo DMH.dat » dans le dossier contenant le package RHtests\_dlyPrcp, comme l'image ci-dessous.

Year	Month	Day	Prcp
1952	1	1	0.4
1952	1	2	0.6
1952	1	3	1
1952	1	4	0.3
1952	1	5	12.1
1952	1	6	14.1
1952	1	7	0
1952	1	8	0
1952	1	9	24.8
...	...	...	...

Pour commencer la session GUI, entrez StartGUI () après avoir entré la source ("RHtests\_dlyPrcp.r") à l'invite R. Comme l'indique la fenêtre ci-dessous.



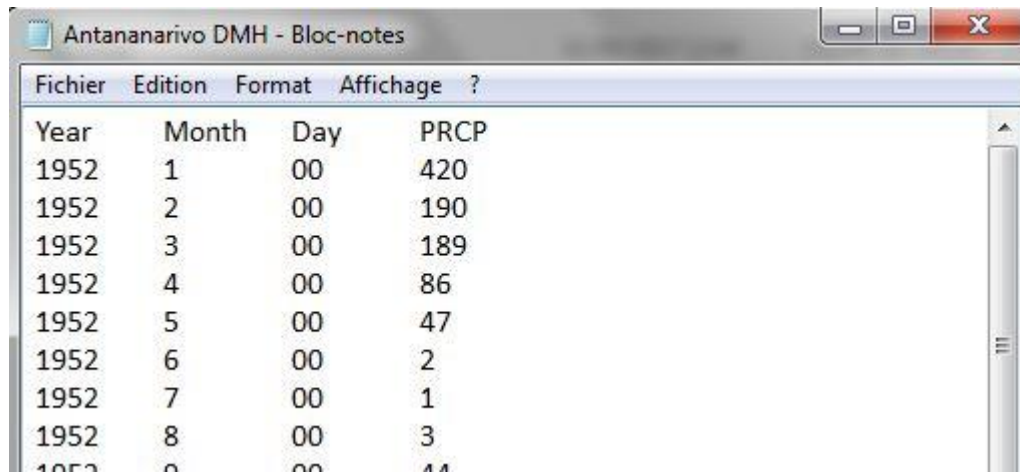
Enfin, on arrive à l'interface graphique GUI de RHtests\_dlyPrcp. On clique sur **ChangePars** pour ajuster les paramètres. Après, On clique sur **FindU** pour excécuter TransPMFred (pour la détection des changements de type 1) et **FindUD** (pour la détection des type 0).



On clique sur **StepSize** pour réévaluer la signification et l'ampleur des points de changement.

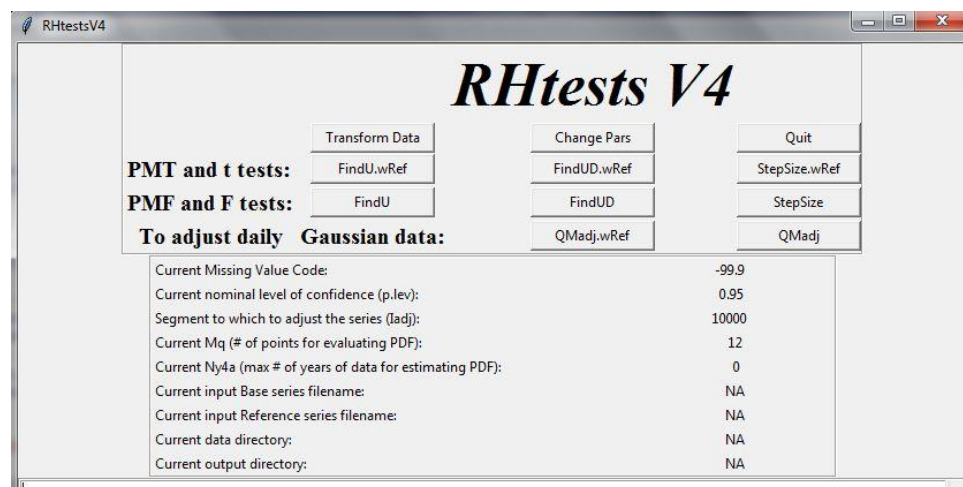
## Annexe XIV : Procédures d'homogénéisation des séries de précipitations mensuelles sous RHtestsV4.

Même principe que pour le package RHtests\_dlyPrcp, mais c'est la disposition des données et l'interface GUI qui fait la différence. La disposition des données est comme la Figure ci-dessous :

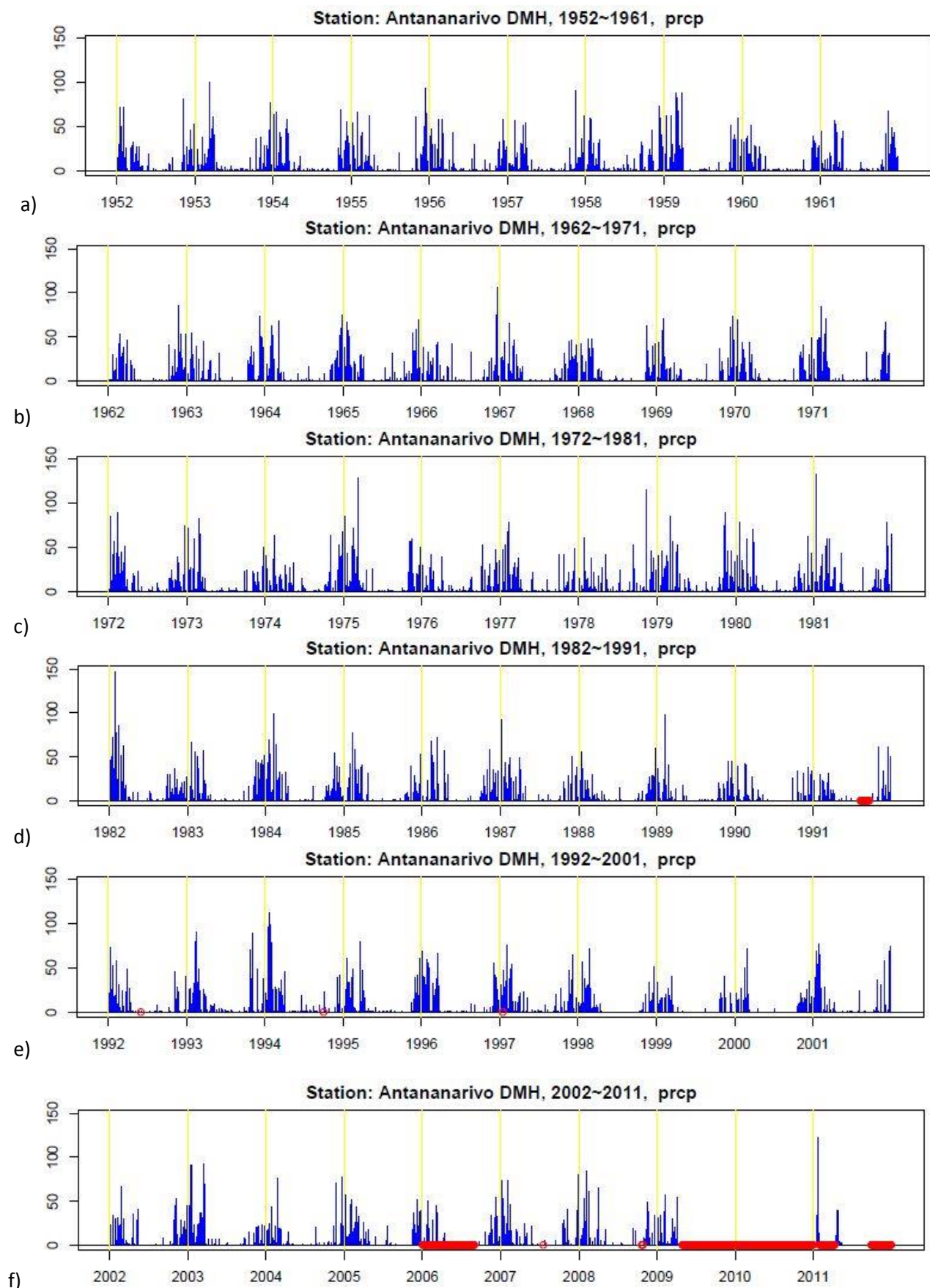


Year	Month	Day	PRCP
1952	1	00	420
1952	2	00	190
1952	3	00	189
1952	4	00	86
1952	5	00	47
1952	6	00	2
1952	7	00	1
1952	8	00	3
1952	9	00	**

L'interface graphique de RHtestsV4 se présente comme suit :



**Annexe XV : Suite des figures des répartitions temporelles des valeurs manquantes sous RClimdex**



**Annexe XVI : Table de la fonction de répartition de la Loi Normale réduite.**

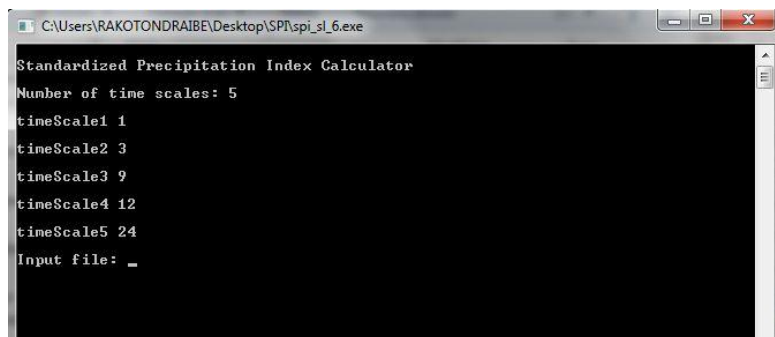
u	0,00	0,01	0,02	0,03	0,04	0,05	0,06	0,07	0,08	0,09
0,00	0,500000	0,503989	0,507978	0,511967	0,515953	0,519939	0,523922	0,527903	0,531881	0,535856
0,10	0,539828	0,543795	0,547758	0,551717	0,555670	0,559618	0,563559	0,567495	0,571424	0,575345
0,20	0,579260	0,583166	0,587064	0,590954	0,594835	0,598706	0,602568	0,606420	0,610261	0,614092
0,30	0,617911	0,621719	0,625516	0,629300	0,633072	0,636831	0,640576	0,644309	0,648027	0,651732
0,40	0,655422	0,659097	0,662757	0,666402	0,670031	0,673645	0,677242	0,680822	0,684386	0,687933
0,50	0,691462	0,694974	0,698468	0,701944	0,705402	0,708840	0,712260	0,715661	0,719043	0,722405
0,60	0,725747	0,729069	0,732371	0,735653	0,738914	0,742154	0,745373	0,748571	0,751748	0,754903
0,70	0,758036	0,761148	0,764238	0,767305	0,770350	0,773373	0,776373	0,779350	0,782305	0,785236
0,80	0,788145	0,791030	0,793892	0,796731	0,799546	0,802338	0,805106	0,807850	0,810570	0,813267
0,90	0,815940	0,818589	0,821214	0,823814	0,826391	0,828944	0,831472	0,833977	0,836457	0,838913
1,00	0,841345	0,843752	0,846136	0,848495	0,850830	0,853141	0,855428	0,857690	0,859929	0,862143
1,10	0,864334	0,866500	0,868643	0,870762	0,872857	0,874928	0,876976	0,878999	0,881000	0,882977
1,20	0,884930	0,886860	0,888767	0,890651	0,892512	0,894350	0,896165	0,897958	0,899727	0,901475
1,30	0,903199	0,904902	0,906582	0,908241	0,909877	0,911492	0,913085	0,914656	0,916207	0,917736
1,40	0,919243	0,920730	0,922196	0,923641	0,925066	0,926471	0,927855	0,929219	0,930563	0,931888
1,50	0,933193	0,934478	0,935744	0,936992	0,938220	0,939429	0,940620	0,941792	0,942947	0,944083
1,60	0,945201	0,946301	0,947384	0,948449	0,949497	0,950529	0,951543	0,952540	0,953521	0,954486
1,70	0,955435	0,956367	0,957284	0,958185	0,959071	0,959941	0,960796	0,961636	0,962462	0,963273
1,80	0,964070	0,964852	0,965621	0,966375	0,967116	0,967843	0,968557	0,969258	0,969946	0,970621
1,90	0,971284	0,971933	0,972571	0,973197	0,973810	0,974412	0,975002	0,975581	0,976148	0,976705
2,00	0,977250	0,977784	0,978308	0,978822	0,979325	0,979818	0,980301	0,980774	0,981237	0,981691
2,10	0,982136	0,982571	0,982997	0,983414	0,983823	0,984222	0,984614	0,984997	0,985371	0,985738
2,20	0,986097	0,986447	0,986791	0,987126	0,987455	0,987776	0,988089	0,988396	0,988696	0,988989
2,30	0,989276	0,989556	0,989830	0,990097	0,990358	0,990613	0,990863	0,991106	0,991344	0,991576
2,40	0,991802	0,992024	0,992240	0,992451	0,992656	0,992857	0,993053	0,993244	0,993431	0,993613
2,50	0,993790	0,993963	0,994132	0,994297	0,994457	0,994614	0,994766	0,994915	0,995060	0,995201
2,60	0,995339	0,995473	0,995603	0,995731	0,995855	0,995975	0,996093	0,996207	0,996319	0,996427
2,70	0,996533	0,996636	0,996736	0,996833	0,996928	0,997020	0,997110	0,997197	0,997282	0,997365
2,80	0,997445	0,997523	0,997599	0,997673	0,997744	0,997814	0,997882	0,997948	0,998012	0,998074
2,90	0,998134	0,998193	0,998250	0,998305	0,998359	0,998411	0,998462	0,998511	0,998559	0,998605
3,00	0,998650	0,998694	0,998736	0,998777	0,998817	0,998856	0,998893	0,998930	0,998965	0,998999
3,10	0,999032	0,999064	0,999096	0,999126	0,999155	0,999184	0,999211	0,999238	0,999264	0,999289
3,20	0,999313	0,999336	0,999359	0,999381	0,999402	0,999423	0,999443	0,999462	0,999481	0,999499
3,30	0,999517	0,999533	0,999550	0,999566	0,999581	0,999596	0,999610	0,999624	0,999638	0,999650
3,40	0,999663	0,999675	0,999687	0,999698	0,999709	0,999720	0,999730	0,999740	0,999749	0,999758
3,50	0,999767	0,999776	0,999784	0,999792	0,999800	0,999807	0,999815	0,999821	0,999828	0,999835
3,60	0,999841	0,999847	0,999853	0,999858	0,999864	0,999869	0,999874	0,999879	0,999883	0,999888
3,70	0,999892	0,999896	0,999900	0,999904	0,999908	0,999912	0,999915	0,999918	0,999922	0,999925
3,80	0,999928	0,999930	0,999933	0,999936	0,999938	0,999941	0,999943	0,999946	0,999948	0,999950
3,90	0,999952	0,999954	0,999956	0,999958	0,999959	0,999961	0,999963	0,999964	0,999966	0,999967

## Annexe XVII : Procédure de calcul des SPI sur le programme DOS « SPI\_SL\_6.exe ».

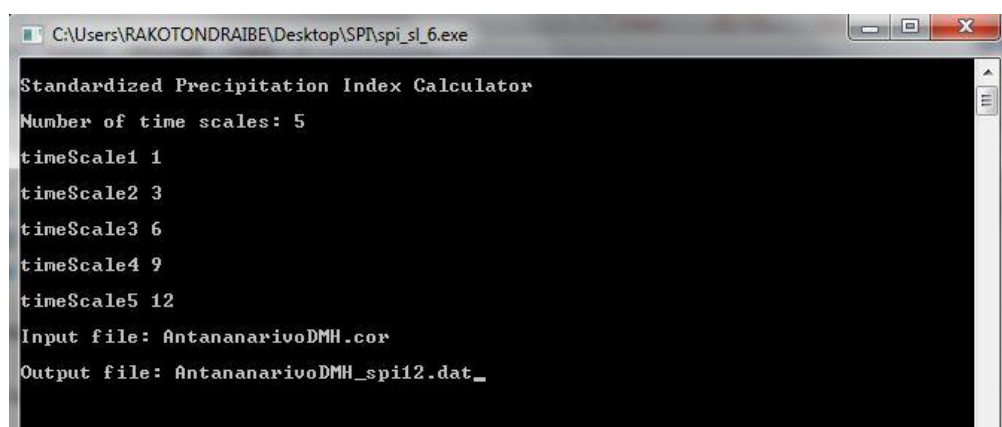
Tout d'abord, créer un fichier comme la disposition ci-dessous sous n'importe quel éditeur de texte, on a utilisé Notepad pour notre cas. Enregistrer le fichier avec l'extension «.cor» dans le répertoire contenant le programme. Il est à noter que les valeurs mensuelles ne contiennent aucune décimale.

Antananarivo DMH, Analamanga		
1952	1	420
1952	2	190
1952	3	189
1952	4	86
1952	5	47
1952	6	2
1952	7	1
1952	8	3

On exécute le programme en précisant le nombre d'échelle de temps. On a choisi 5 pour les SPI : 1, 3, 6, 9 mois.



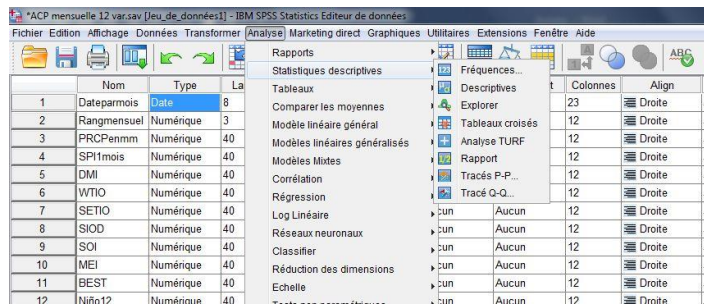
On tape le nom complet du fichier d'entrée avec l'extension et on crée le fichier de sortie sous un format « .dat », puis on valide par entrée.



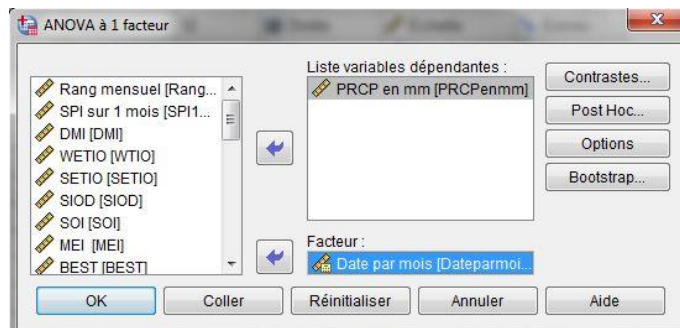
Les fichiers de sortie sont sauvegardés dans le répertoire du programme sous la forme d'un fichier texte ASCII (MS-DOS).

## Annexe XVIII : Les différentes procédures d'analyse statistiques sous SPSS.

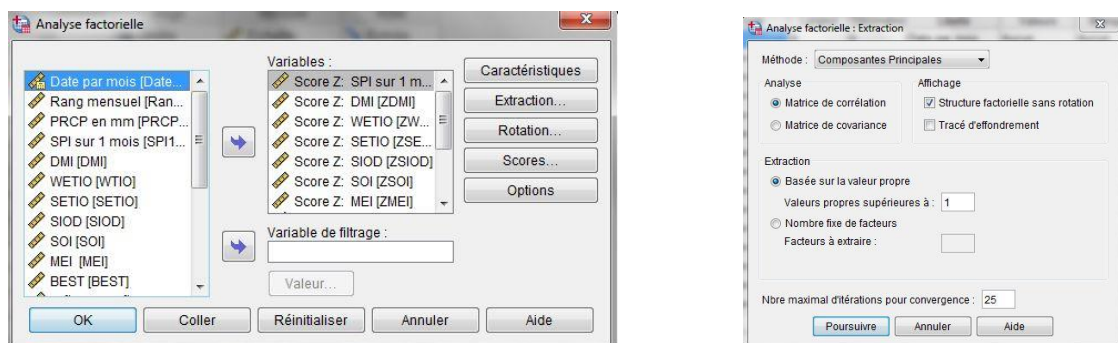
Tout d'abord, les statistiques descriptives sous l'onglet *Analyse> Fréquences, Descriptives et Explorer.*



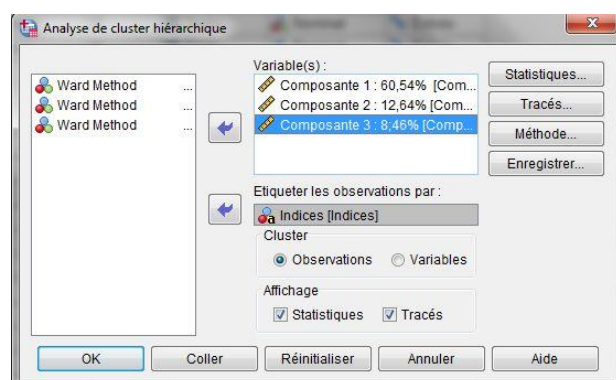
L'ANOVA à 1 facteur sous l'onglet *Analyse>comparer les moyennes>ANOVA à 1 facteur.*



ACP-normée avec Rotation Varimax sous l'onglet *Analyse>Réduction des dimensions>Analyse factorielle.* Les données centrées-réduite sont précédées par l'identifiant « Score Z ».



La CAH sous l'onglet *Analyse>Classifier>Cluster Hiérarchique.*



## Table des matières

<b>SOMMAIRE .....</b>	I
<b>SIGLES ET ACRONYMES .....</b>	II
<b>GLOSSAIRE .....</b>	IV
<b>LISTE DES FIGURES .....</b>	VI
<b>LISTE DES TABLEAUX .....</b>	X
<b>INTRODUCTION .....</b>	1
<b>PARTIE I : CADRE DE L'ETUDE.....</b>	3
<i>Chapitre 1 : ENSO et IOD .....</i>	<i>4</i>
Section 1     Généralités.....	4
I.     L'Oscillation australe ENSO.....	4
II.    Le Dipôle de l'Océan Indien .....	5
Section 2     Conceptualisation .....	6
I.     Les phases de l'ENSO .....	6
1.    Phase Neutre : .....	6
2.    El Niño (phase chaude) : .....	6
3.    La Niña (phase froide) : .....	6
Section 3     Les covariations.....	8
I.     Associations avec les SST .....	8
II.    L'Océan Indien, un déclencheur d'El Niño .....	8
Section 4     Les téléconnexions associées à la zone d'étude .....	9
I.     Associées à l'IOD.....	9
II.    Associées à ENSO.....	9
<i>Chapitre 2 : Changement et variabilité Climatique .....</i>	<i>10</i>
Section 1     Maîtrise des terminologies .....	10
I.     Météorologie et climatologie .....	10
II.    Variation et Changement .....	10
Section 2     Analyse des systèmes .....	11
I.     Les Composantes du système climatique .....	11
II.    Fonctionnement et échange énergétique .....	11
1.    Source et réservoir d'énergie .....	11
2.    Les transferts d'énergie .....	12
3.    Le transport méridien d'énergie .....	13
4.    Le transport zonal d'énergie .....	15
5.    Bilan radiatif.....	15
III.    Les mécanismes du système climatique .....	17
1.    Les interactions aux seins du système climatique .....	17
2.    Les perturbations.....	17
3.    Ondes équatoriales.....	18
4.    Les rétroactions climatiques .....	20
5.    L'effet de serre.....	21
IV.    Scénarios des changements climatiques .....	21
Section 3     Synthèse de l'analyse des systèmes.....	22
<i>Chapitre 3 : Les Précipitations .....</i>	<i>23</i>
Section 1     Le cycle de l'eau .....	23
I.     Généralités .....	23
II.    Fonctionnement .....	23
Section 2     Le mécanisme des précipitations.....	23
I.     Formation des précipitations.....	23
1.    Formation des nuages .....	24
2.    Les processus de refroidissement.....	24
3.    Notion d'instabilité .....	24
4.    La pluie.....	25
II.    Les types de précipitations .....	26
III.    Mesure des précipitations .....	26
1.    Unité de mesure .....	26
2.    Données et stations pluviométriques .....	26

## Table des matières

3.    Représentation .....	26
IV.   Le régime pluviométrique .....	27
<i>Chapitre 4 : Concept de la Sècheresse .....</i>	<b>28</b>
Section 1    Typologie de la sécheresse .....	28
I.    La sécheresse météorologique ou atmosphérique.....	28
II.   La sécheresse agricole, .....	28
III.  La sécheresse hydrologique.....	28
Section 2    Causes et conséquences .....	28
<i>Chapitre 5 : Description de la zone d'étude.....</i>	<b>29</b>
Section 3    Localisation .....	29
Section 4    Caractéristiques physiques : .....	30
IV.   Relief.....	30
V.    Géologie .....	31
VI.   Végétation et Occupations des sols .....	32
VII.  Réseau Hydrographique .....	33
Section 5    Caractéristique Climatiques .....	35
I.    Les facteurs climatiques .....	35
1.  La ZCIT.....	35
2.  L'Alizé à l'Est .....	35
3.  La mousson d'été.....	35
4.  Les Anticyclones.....	35
5.  La Circulation Frontale Ouest-Est au Sud.....	35
6.  Le Relief : .....	35
II.   Climatologie de la région Analamanga .....	36
1.  Température .....	36
2.  Pluviométrie et couverture nuageuse .....	37
3.  Vents.....	38
4.  Hygrométrie et évapotranspiration .....	40
5.  Indice climatique .....	42
SYNTHÈSE DE LA PARTIE .....	43
<b>PARTIE II : DONNEES ET METHODOLOGIE .....</b>	<b>44</b>
<i>Chapitre 6 : Données et Matériels .....</i>	<b>45</b>
Section 1    Données .....	45
I.    Données à grandes échelle .....	45
1.  Les indices climatiques .....	45
2.  Les cartes composites .....	49
II.   Données régionales .....	49
1.  Les séries de précipitations.....	49
Section 2    Matériels .....	49
I.    R packages.....	49
1.  Software Package RClimdex.....	49
2.  Software Package RHtests_dlyPrcp .....	50
3.  Software Package RHtestsV4 .....	50
II.   IBM SPSS Statistics .....	50
1.  Généralités .....	50
2.  Caractéristiques de SPSS.....	50
3.  Choix du logiciel .....	51
III.  Microsoft office Excel .....	51
IV.   SIG .....	51
<i>Chapitre 7 : Présentation de l'étude .....</i>	<b>52</b>
Section 1    Les formalités de l'étude.....	52
I.    Choix de la station .....	52
II.   Cartographie de la zone d'étude .....	52
III.  Période d'étude .....	52
<i>Chapitre 8 : Traitement des données.....</i>	<b>54</b>
Section 1    Manipulation des bases de données avec Excel .....	54
Section 2    Contrôle de qualité sous RClimdex .....	54
I.    Codage des valeurs manquantes .....	54
II.   Les valeurs négatives .....	55
III.  Détection des valeurs aberrantes.....	55
IV.   Simulation sous RClimdex.....	55

## Table des matières

Section 3	Correction des erreurs connues.....	55
I.	Elimination des lacunes de longue période .....	55
II.	Analyse des valeurs aberrantes .....	55
III.	Restitution des valeurs manquantes .....	55
1.	Répartition des valeurs manquantes .....	56
2.	Classification des données manquantes .....	56
IV.	Méthode de traitement.....	56
1.	Imputation Simple (IS) .....	57
2.	Imputation Multiple (IM) .....	57
Section 4	Validation des données.....	60
I.	Homogénéisation des données avec RHtests_dlyPrcp et RHtestsV4 .....	60
1.	Détection et identification des points de changement.....	60
2.	Ajustement de la série .....	61
II.	Simulation sous RHtests_dlyPrcp et RHtestV4 .....	61
Section 5	Synthèse du traitement des données .....	61
<i>Chapitre 9 : Statistique descriptive.....</i>		62
Section 1	Les Quantiles.....	62
I.	Les Quintiles .....	62
II.	Les Quartiles .....	63
Section 2	Les distributions de fréquences .....	63
I.	Fréquence absolue ou effectif : .....	63
II.	Fréquence relative :.....	63
III.	Fréquence cumulée absolue : .....	63
IV.	Fréquence cumulée relative : .....	63
Section 3	Caractéristique de tendance centrale.....	64
I.	La Moyenne arithmétique : .....	64
II.	La Médiane : .....	64
Section 4	Caractéristiques de dispersion.....	64
I.	La Variance : .....	64
II.	L'Ecart-type :.....	64
III.	L'Etendue : .....	65
IV.	Boîte à dispersion .....	65
Section 5	Caractéristiques de forme.....	66
I.	Le Coefficient d'asymétrie ou de dissymétrie ou Skewness $\gamma_1$ : .....	66
II.	Le coefficient d'aplatissement ou Kurtosis $\gamma_2$ : .....	66
Section 6	Mesure de dépendance .....	66
I.	Le coefficient de corrélation .....	66
<i>Chapitre 10 : Statistique Inférentielle.....</i>		68
Section 1	Analyse des valeurs extrêmes.....	68
I.	La loi normale ou de Gauss.....	68
II.	Calculs des fréquences d'apparition et temps de retour.....	69
Section 2	Analyse de la variabilité des précipitations.....	69
I.	Intervalle de confiance .....	69
II.	Régression linéaire .....	70
III.	Analyse de la variance à 1 facteur (One-way ANOVA).....	70
<i>Chapitre 11 : Les normales climatologiques.....</i>		71
I.	Périodes de référence .....	71
II.	Ecart et rapport à la normale .....	71
<i>Chapitre 12 : L'indice de précipitation normalisé .....</i>		73
I.	Calcul des indices.....	73
II.	Centrage et réduction (Standardized) .....	73
1.	Centrer : .....	73
2.	Réduire : .....	73
III.	SPI sur différentes périodes.....	74
1.	Indice SPI sur 1 mois : .....	74
2.	Indice SPI sur 3 mois : .....	74
3.	Indice SPI sur 6 mois : .....	74
4.	Indice SPI sur 9 mois : .....	75
5.	Indice SPI sur 12 jusqu'à 24 mois : .....	75
IV.	Signification des indices.....	75
1.	Magnitude .....	75
2.	Fréquence .....	75

## Table des matières

3. Sévérité et durée .....	76
V. Synthèse de l'utilisation des indices .....	76
<i>Chapitre 13 : Antécédents des phénomènes ENSO et IOD sur l'évènement 2016-2017</i> .....	<b>77</b>
I. Comparaison avec les indices normalisés.....	77
II. Comparaisons avec les Intensités des phénomènes.....	77
<i>Chapitre 14 : Analyse statistique exploratoire multidimensionnelle</i> .....	<b>78</b>
Section 1     Analyse en Composante Principale (ACP) normée.....	78
I. Schéma des Données.....	79
II. Objectifs .....	80
1. Etude des individus.....	80
2. Etude des variables.....	80
III. Respect des postulats .....	81
1. La matrice des corrélations.....	81
2. L'indice KMO (Kaiser-Meyer-Olkin).....	81
3. Le Test de sphéricité de Bartlett .....	82
IV. Nuage des individus.....	82
V. Ajustement du nuage des individus.....	83
1. Axe d'inertie maximum.....	83
2. Plan d'inertie maximum.....	84
3. Vecteurs et valeurs propres.....	84
VI. Représentation des variables associée à la représentation des individus .....	84
VII. Nuage des variables.....	85
VIII. Ajustement du nuage des variables.....	86
1. Les Composantes Principales.....	86
2. L'effet taille .....	87
IX. Extraction des Composantes Principales .....	87
1. Rotation des axes factoriels – Rotation VARIMAX .....	88
X. Dualité et formules de transition en ACP normée.....	88
1. Inerties.....	89
2. Facteurs .....	89
XI. Relation de transition .....	90
XII. Aide à l'interprétation .....	91
1. Qualité de représentation d'un élément par un axe .....	91
2. Qualité de représentation d'un nuage par un axe .....	91
3. Contribution d'un élément à l'inertie d'un axe.....	92
Section 2     La Classification Ascendante Hiérarchique (CAH) .....	92
I. Principes généraux de la CAH .....	92
1. Les objectifs .....	92
II. Les critères.....	93
1. La mesure d'éloignement .....	93
2. Le critère d'Homogénéité .....	93
3. Le choix de la méthode .....	94
III. L'algorithme de Ward .....	94
1. Qualité d'une Partition .....	94
2. Coupure de l'arbre Hiérarchique .....	94
IV. Mise en œuvre conjointe de l'ACP et de la CAH .....	94
SYNTHÈSE DE LA PARTIE .....	94
<b>PARTIE III : RESULTATS ET DISCUSSIONS .....</b>	<b>96</b>
<i>Chapitre 15 : Bilan du traitement des données pluviométriques .....</i>	<b>97</b>
Section 1     Aperçu général de l'étude.....	97
V. Résultats de la vérification initiale.....	97
Section 2     Rapport du contrôle de qualité des données sous RClimdex.....	100
I. Les fichiers générés .....	100
1. Le fichier « Anatananarivo DMH_nastatistic.csv » .....	100
2. Le fichier Antananarivo DMH_prcpQC.csv .....	102
3. Le fichier Antananarivo DMH_prcpPLOT.pdf .....	102
Section 3     Traitement des données pluviométriques manquantes .....	103
I. Répartition et classification des données manquantes .....	103
II. Elimination et restitution des données manquantes.....	104
Section 4     Bilan de l'homogénéisation des données avec RHtests_dlyPrcp et RHtestsV4 .....	104
I. Les séries pluviométriques journalières .....	104

## Table des matières

1.	Les fichiers « Antananarivo DMH_1Cs.txt et Antananarivo DMH_mCs.txt » .....	104
2.	Le fichier « Antananarivo DMH_U.pdf » .....	105
II.	Les séries pluviométriques mensuelles .....	107
1.	Les fichiers « Antananarivo DMH_1Cs.txt et Antananarivo DMH_mCs.txt » .....	107
2.	Le fichier « Antananarivo DMH_U.pdf » .....	107
<i>Chapitre 16 : Description de l'anomalie de précipitation de l'année 2016-2017 .....</i>		110
Section 1	Analyse statistique des séries de précipitations .....	110
I.	Visualisation qualitative des données pluviométriques .....	110
1.	La distribution des fréquences.....	110
2.	Les quartiles de précipitations .....	112
II.	Les caractéristiques des précipitations mensuelles.....	114
1.	Comparaison avec les moyennes mensuelles.....	118
2.	Les valeurs extrêmes mensuelles .....	120
III.	Les caractéristiques des cumuls de précipitations sur 3 mois consécutifs .....	121
1.	Comparaison avec les moyennes de 3-mois consécutifs .....	125
2.	Les valeurs extrêmes sur 3-mois consécutifs.....	126
IV.	Les caractéristiques des précipitations saisonnières .....	127
1.	Comparaison avec les moyennes saisonnières .....	130
2.	Les valeurs extrêmes saisonnières.....	131
Section 2	Analyse des valeurs extrêmes.....	131
I.	Fonction de répartition de l'anomalie de la saison des pluies de l'année 2016-2017.....	132
II.	Période de retour de l'anomalie de la saison des pluies de l'année 2016-2017.....	132
Section 3	Analyse de la variabilité des précipitations à l'échelle mensuelle et saisonnière .....	133
I.	Calculs des normales climatologiques .....	133
1.	Normales mensuelles .....	133
2.	Normales saisonnières.....	134
II.	Variabilité mensuelle des précipitations de la station Antananarivo DMH .....	134
1.	Analyse de la tendance décennale des précipitations mensuelles .....	134
2.	Caractérisation de la période d'étude par rapport aux normales mensuelles de référence .....	136
III.	Variabilité saisonnière des précipitations de la Station Antananarivo DMH .....	137
1.	Analyse de la tendance saisonnière des précipitations .....	138
2.	Caractérisation de la période d'étude par rapport aux normales saisonnières de référence .....	141
Section 4	Analyse de la sévérité de la sécheresse .....	141
I.	Détermination des périodes humides et sèches .....	142
II.	Caractérisation de la sécheresse de l'année 2016-2017.....	144
Section 5	Synthèse de l'anomalie de précipitations de l'année 2016-2017 .....	147
<i>Chapitre 17 : Analyses des liens entre les variabilités climatiques ENSO-IOD et la sécheresse saisonnière .....</i>		148
Section 1	Récapitulatif des épisodes ENSO et IOD de l'année 2016-2017.....	148
I.	Analyse graphique des indices ENSO et IOD de la période d'étude .....	148
II.	Analyse des cartes composites globales SST, direction et vitesse du vent combinées.....	149
Section 2	Identification des périodes ENSO et IOD .....	156
I.	Les périodes ENSO .....	156
II.	Les périodes IOD .....	157
Section 3	Mise en évidence de l'impact des variabilités climatiques ENSO-IOD sur les précipitations de la Station Antananarivo DMH .....	158
I.	Schéma des données exploitées.....	158
II.	Significativité de l'ACP .....	159
1.	La matrice des corrélations des indices et SST mensuelles .....	159
2.	Signification de l'indice KMO et du Test de sphéricité de Bartlett .....	160
III.	Extraction des composantes principales .....	160
1.	Choix du nombre de facteurs .....	160
2.	Indicateur d'inertie .....	161
IV.	Interprétation des axes factoriels ou des composantes principales.....	163
1.	Le 1 <sup>er</sup> axe factoriel .....	163
2.	Le 2 <sup>nd</sup> axe factoriel .....	163
3.	Le 3 <sup>ème</sup> axe factoriel.....	164
4.	Le 4 <sup>ème</sup> axe factoriel.....	164
V.	Interprétation des plans factoriels .....	166
1.	Etude des liaisons entre les indices et SST ENSO-IOD avec les mois en fonction des plans factoriels .....	166
VI.	Configuration des périodes sèches et humides en fonction de l'intensité des variabilités ENSO et IOD .....	168
1.	Comportement de la Sécheresse durant les phases ENSO .....	168
2.	Comportement de la Sécheresse durant les phases IOD .....	169

## Table des matières

3.	Comportement de la Sécheresse durant les phases combinées.....	170
VII.	Synthèse de l'impact des variabilités climatiques ENSO et IOD sur les précipitations de la Station Antananarivo	
DMH	170	
Section 4	Mise en évidence de l'origine de l'anomalie saisonnière de l'année 2016-2017 en fonction d'ENSO-IOD .....	171
I.	Significativité de l'ACP normée saisonnière .....	172
1.	La matrice de corrélation des variables saisonnières .....	172
2.	Signification de l'indice KMO et du Test de sphéricité de Bartlett .....	172
II.	Extraction des composantes.....	173
1.	Choix du nombre de facteurs .....	173
2.	Indicateur d'inertie .....	174
III.	Interprétation des axes factoriels ou composantes principales .....	174
1.	Le 1 <sup>er</sup> axe factoriel .....	174
2.	Le 2 <sup>nd</sup> axe factoriel .....	176
3.	Le 3 <sup>ème</sup> axe factoriel.....	176
IV.	Interprétation des plans factoriels .....	176
1.	Etude des liaisons entre les indices et SST ENSO-IOD avec les saisons en fonction des plans factoriels.....	176
Chapitre 18 :	<i>Classification des saisons en fonction de la nature de l'impact d'ENSO-IOD combinée</i> .....	178
I.	Classification Ascendante Hiérarchique par la méthode de Ward .....	178
1.	La qualité du partitionnement .....	181
2.	Choix du nombre de classes optimal et découpage de l'arbre binaire .....	182
II.	Interprétation de la Typologie des saisons des pluies sur le 1 <sup>er</sup> plan factoriel .....	184
1.	Caractérisation et Classement par catégories de périodes en fonction de la variabilité dominante .....	186
Chapitre 19 :	<i>Etudes des cas</i> .....	188
Section 1	Mise en évidence de la cause de l'anomalies de précipitations de l'année 2016-2017.....	188
I.	Formulation de l'origine des anomalies de précipitations au niveau de l'atmosphère et de l'océan .....	196
1.	Au niveau de l'Océan .....	196
2.	Au niveau de l'atmosphère .....	196
Section 2	Situation de blocage atmosphérique durant le début de la saison des pluies 2016-2017.....	197
I.	Caractérisation de l'anticyclone de blocage .....	197
II.	Impact du Bloc Oméga.....	197
SYNTHÈSE DE LA PARTIE.....		199
<b>CONCLUSION GENERALE</b> .....		<b>200</b>
<b>BIBLIOGRAPHIES</b> .....		<b>202</b>
<b>WEBOGRAPHIES</b> .....		<b>205</b>
<b>LISTE DES ANNEXES</b> .....		<b>207</b>
<b>ANNEXE</b> .....		<b>208</b>
<b>TABLE DES MATIERES</b> .....		<b>A</b>

**Titre :** « *El Niño Southern Oscillation (ENSO) – Indian Ocean Dipole (IOD) et anomalie de précipitations de l'année 2016-2017 sur la région Analamanga, cas de la station principale d'Antananarivo »*

**Nombre de pages :** 208

**Nombre de tableaux :** 61

**Nombre de figures :** 90

**Nombre d'annexes :** 18



## RESUME

La relation entre l'anomalie de précipitations de la région Analamanga sur la station Antananarivo DMH avec El Niño-Southern Oscillation (ENSO) et l'Indian Ocean Dipole (IOD) est réanalysée pour l'année 2016-2017. En premier lieu, l'étude statistique des précipitations confirme une tendance à la baisse, exponentielle en fonction de la période. La première Analyse en Composantes Principales (ACP) normée mensuelle révèle la configuration générale des précipitations face à l'influence de la covariation d'ENSO-IOD. Une deuxième ACP normée saisonnière associée à une Classification Ascendante Hiérarchique (CAH) précise cette configuration en divisant les saisons des pluies en cinq catégories de périodes en fonction d'ENSO-IOD qui sont : ENSO+, ENSO-, Post-ENSO+, Post ENSO- et ENSO<sub>0</sub> et a permis de conclure que l'anomalie de précipitations qui s'est caractérisée par une sécheresse saisonnière intense est la résultante d'une situation de blocage atmosphérique issue des anomalies froides de la SST (Sea Surface Temperature) WTIO (Western Tropical Indian Ocean) causée par un IOD négatif intense modulé par l'El Niño extrême de l'année 2015-2016. Les SPI (Standardized Precipitation Index) sur 6 et 9 mois indiquent que la sécheresse continue encore. Pour information, Ce travail contribue à une aide aux gestions des ressources en eaux de la région Analamanga.

**Mots clés :** ENSO, IOD, Précipitations, Statistique, Blocage atmosphérique, SST, Sècheresse, SPI.

## ABSTRACT

The relationship between the precipitation anomaly of the Analamanga region on the Antananarivo DMH station with El Niño-Southern Oscillation (ENSO) and the Indian Ocean Dipole (IOD) is reanalyzed for the year 2016-2017. First, the statistical study of precipitation confirms a downward trend, exponential as a function of the period. The first Monthly Standardized Principal Component Analysis (PCA) reveals the general pattern of precipitation in response to the influence of ENSO-IOD covariation. A second seasonal standardized PCA associated with a Hierarchical Cluster Analysis (HCA) specifies this configuration by dividing the rainy seasons into five ENSO-IOD period categories, which are: ENSO +, ENSO-, Post-ENSO +, Post ENSO- and ENSO<sub>0</sub>, and concluded that the precipitation anomaly characterized by intense seasonal dryness was the result of a blocking high resulting from the WTIO (Western Tropical Indian Ocean) cold SSTA (Sea Surface Temperature Anomalies) caused by an intense negative IOD modulated by the extreme El Niño of the year 2015-2016 and SPI (Standard Precipitation Index) over 6 and 9 months indicates that drought continues. For information, this work contributes to the management of water resources in the Analamanga region.

**Key words:** ENSO, IOD, Precipitation, Statistics, Blocking High, SST, Drought, SPI.

### Directeur de Mémoire

Monsieur RAKOTOVAZAHY Olivier

Maître de conférences à l'Université d'Antananarivo -

Responsable de la mention Météorologie

### Impétrant

RAKOTONDRAIBE Harison Sammy Nirina

Tél : (+261) 33 03 433 99 / (+261) 34 76 067 27

E-mail : metalharison@gmail.com

Lot III C 44 Ter Mahamasina Est